

# 面向对象数据库的查询优化

吴胜利 王能斌

(东南大学计算机系 南京 210096)

**摘要** 查询优化一般分为逻辑和物理两层,但两者密切相关。在一个具体系统的实现中,若把它们截然分开会影响优化效果,而把它们有机结合起来则更佳。本文在联系代数的基础上探讨该问题,综合考虑了逻辑与物理 2 个方面,给出了面向对象数据库系统中的查询优化算法。

**关键词** 面向对象数据库, 联系代数, 查询优化。

查询处理与优化是面向对象数据库系统的重要部分, 经过 10 余年的研究, 已经取得了一些有意义的成果, 如对象代数<sup>[1,2]</sup>、代数查询重写(Algebraic Query Rewriting)技术<sup>[3~5]</sup>、全局查询处理结构<sup>[6]</sup>、索引技术<sup>[6,7]</sup>等, 已有一些商用的或原型系统的查询优化器<sup>[8,9]</sup>问世。在初期对象代数的讨论较多, 近期则较集中于代数查询重写技术。

查询优化可分成逻辑与物理两层。传统作法是在逻辑层进行代数查询重写, 此时只考虑代数表达式本身, 而不涉及具体的物理数据库。然后再对逻辑优化的代数表达式进行物理优化, 例如可构造一查询代价(COST)模型, 用启发式或穷举搜索算法找出代价较小者执行。由于查询优化的逻辑与物理两层密切相关, 在一个具体系统的实现中, 把它们截然分开则优化效果不佳。因此有必要综合考虑逻辑与物理优化。文献[3]在讨论代数查询重写技术时, 着重点虽仍为逻辑方面, 但也同时考虑路径索引和对象聚集 2 种数据库物理信息。本文除了路径索引和对象聚集外, 还考虑反向属性<sup>[12]</sup>、类中对象的个数、类中对象选择谓词的选择率等, 并考虑到谓词本身的复杂度, 对谓词按复杂程度进行了分类。

为讨论方便, 本文在面向对象数据库模式的基础上, 考虑路径索引、对象聚集和反向属性, 提出了增强数据库模式的概念。

面向用户的查询语言一般是描述性的, 要将之变换为代数形式才适宜于优化。本文在联系代数的基础上讨论优化方法, 不涉及查询语言及查询语言向代数表达式的变换。

在联系代数表达式中, 有 2 类最重要, 一类为‘联系—选择—投影’复合操作; 另一类为‘联系—选择—交—投影’复合操作, 它们和关系模型中的‘选择—投影’、‘连接—选择—投影’复合操作具有同样的意义。本文在综合考虑逻辑和上述物理信息的前提下, 分别讨论其实现方法。

\* 作者吴胜利, 1963 年生, 博士, 主要研究领域为面向对象数据库系统。王能斌, 1929 年生, 教授, 博士导师, 主要研究领域为数据库及信息系统。

本文通讯联系人: 吴胜利, 北京 100080, 中国科学院软件研究所计算机科学开放研究实验室

本文 1996-01-22 收到修改稿

本文后面将‘联系—选择—投影’复合操作简记为 ASP(associate\_select\_project), 将‘联系—选择—交—投影’简记为 ASIP(associate\_select\_intersect\_project).

## 1 几点准备

### 1.1 联系代数

我们将复杂对象抽象为有向图, 称作为联系式样(Association Pattern). 文献[10]\* 中对联系式样集合定义了联系、交、选择、投影等对象运算. 图1给出了4种运算的例子, 所基于的数据库例子如图2所示. 详细讨论请参阅文献[1, 10].

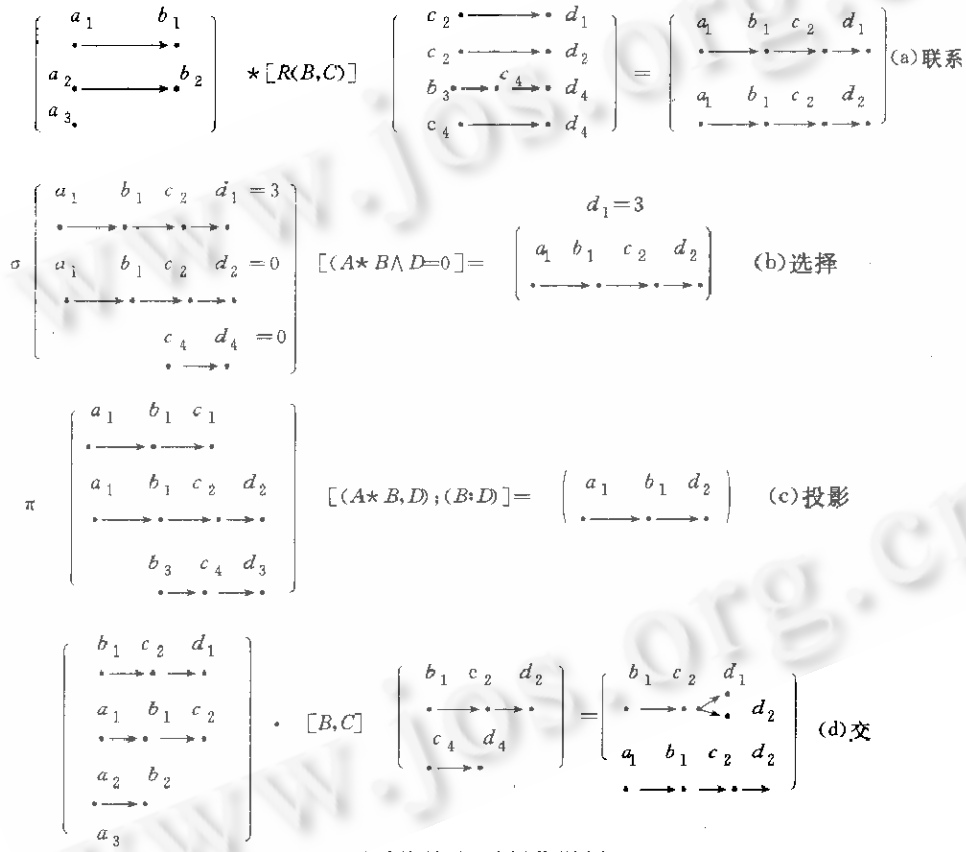


图1 联系代数的4种操作举例

在联系代数中, 参加运算的操作数均为联系式样集合, 集合中任一联系的操作数均为数据库对象联系图的子图. 图2中,  $A, B, C$  和  $D$  均为模式中的类名,  $a_i (1 \leq i \leq 4) \in A, b_j (1 \leq j \leq 3) \in B, c_k (1 \leq k \leq 4) \in C, d_l (1 \leq l \leq 4) \in D$  均为联系式样. 例中联系操作将2个联系式样集合合并为一, 具体作法是将两集合中满足条件的联系式样两两合并, 条件  $R(B, C)$  表示在数据库对象联系图中,  $b_j$  到  $c_k$  有一有向边这样一个条件. 选择操作从联系式样集合中选出满足条件者, 例中条件  $A * B \wedge D = 0$  表示所选联系式样要有从  $a_i$  到  $b_j$  的有向边且  $d_l = 0$ . 投影操作保留联系式样中某些特定的结点和边, 而删除另一些.  $[(A * B, D); (B:D)]$  规定

\* 注: 文献[1]为基于无向图的联系代数, 文献[10]将无向图改为有向图.

投影后的结果式样为  $a_i \cdot \rightarrow \cdot \rightarrow d_i$  形式. 交操作亦对两集合中满足条件的联系式样两两合并,  $[B, C]$  表示两联系式样中有相同的子式样  $b_j \rightarrow c_k$  才可合并.

本文涉及到的联系操作其第 2 个操作数均为单结点集合, 这时和文献[9]中的实例化操作(Materialization)意义相同. 语义解释是

为复杂对象的一属性(亦为复杂对象)找出其真实值. 如儿童  $a$  为一对象, 其属性‘父亲’是另一个对象, 但在  $a$  中仅存放‘父亲’对象的标识符, 此时采用联系操作则为  $a$  找出其‘父亲’对象.

## 1.2 数据库模式与增强模式

一个面向对象数据库包括模式和对象两层定义, 它们均可用有向图表示. 由于模式有向图与对象有向图之间存在一对多对应关系, 故我们用对象(联系式样)来说明数据库模式.

在一联系式样中, 从结点  $a$  到结点  $b$  有一有向边, 记作  $a \rightarrow b$ , 表示从  $a$  可快速访问  $b$ . 例如  $a$  对象的一属性值为  $b$ , 在  $a$  对象中存放了  $b$  对象的标识符, 这样可很方便地从  $a$  访问  $b$ . 但反过来从  $b$  访问  $a$  很困难, 有可能需遍历  $a$  对象所属类的全部对象才能得知. 这样从  $b$  到  $a$  就没有有向边. 但如果从  $b$  到  $a$  定义了反向属性<sup>[11]</sup>, 或在  $b$  中建立了访问  $a$  的路径索引, 或者  $a, b$  对象聚集存放, 或者干脆用户亦定义  $a$  为  $b$  的一属性值, 这时从  $b$  访问  $a$  也很容易, 则从  $b$  到  $a$  也应有一条有向边. 若从  $a$  到  $b$  和从  $b$  到  $a$  均有有向边, 且有同样的语义解释\*, 我们称  $a, b$  有双向边相连(记作  $a \leftrightarrow b$ ). 同样可定义路径和双向路径.

在数据库模式定义中, 一般只包含用户定义的类及其相互间的关系. 现在 OODBMS 支持反向属性、聚集、索引等机制, 有必要把这些信息增加到模式中去, 我们把这种增加了此类信息的模式叫作增强模式. 因本文探讨的是非递归查询, 在这种情况下, 增强模式仍为树结构, 但其中一些边变成了双向边, 除此之外与原模式相同.

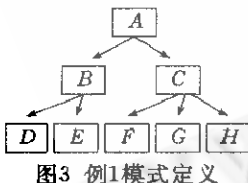


图3 例1模式定义

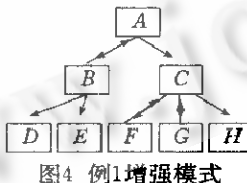


图4 例1增强模式

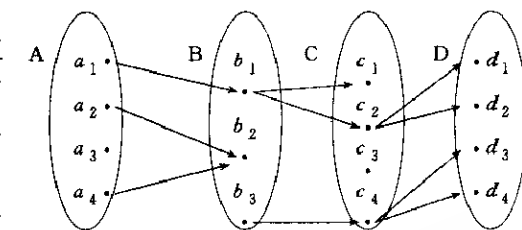


图2 数据库的对象联系图

例 1: 数据库模式定义如图 3 所示, 现假定用户在  $B$  类中建立了访问  $A$  的路径索引,  $C, F, G$  聚集存放, 则其增强模式如图 4 所示.

为简便起见, 本文后面将交替使用对象与联系式样这 2 个词表示相同的概念, 也常使用模式中的结点名称表示类定义, 或表示属于该类的所有联系式样的集合.

## 2 一般模式下的 ASP 与 ASIP 复合操作

为增强本文的可读性, 我们先讨论在一般模式下(即未考虑路径索引、对象聚集和反向属性, 此时模式呈 DAG 结构)ASP 与 ASIP 的优化方法, 这实际上是下一节增强模式下 2

\* 注: 指  $a \rightarrow b$  和  $b \rightarrow a$  为同一联系的正反两面, 如  $a \rightarrow b$  为母子联系,  $b \rightarrow a$  为子母联系. 应将此与两类之间有多种联系的情形区分开.

类复合操作的特例.

### 2.1 ASP 复合操作

假定初始时具有如下一般形式(投影暂未考虑):

$$\sigma(R_1 * R_2 * \dots * R_m)[F] \quad (1)$$

这里  $R_1, R_2, \dots, R_m$  均为模式 DAG 中的单个结点,  $F$  为选择谓词.

我们总可以把  $F$  改造成  $F_1 \wedge F_2 \wedge \dots \wedge F_m \wedge F_t$ , 其中  $F_1$  中只涉及  $R_1$ ,  $F_2$  只涉及  $R_2, \dots$ ,  $F_m$  只涉及  $R_m$ ,  $F_t$  为任意形式. 这样, (1)式可写成如下形式:

$$\sigma(R_1 * R_2 * \dots * R_m)[F_1 \wedge F_2 \wedge \dots \wedge F_m \wedge F_t] \quad (2)$$

直接对(2)式进行运算不一定好, 因为通过多次联系运算拼装而成的复合对象集合, 很可能只有少数符合谓词条件而成为最终结果, 这样许多工作就白做了. 对(2)式的优化思路是尽可能避免用联系操作拼装无用的复杂对象.

(2)式把选择谓词  $F$  分解成  $m+1$  项的合取, 这样我们就可以将选择分解为  $m$  个, 与联系操作交替进行, 这就可用下面的(3)式表示:

$$\sigma_m(\dots(\sigma_2(\sigma_1(R_1)[F_1]) * (R_2)[F_2]) * \dots * (R_m))[F_m \wedge F_t] \quad (3)$$

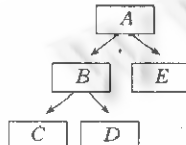


图5 模式有向图

(3)式的运算过程很有规律, 除  $\sigma_1$  和  $\sigma_m$  外, 其余均是联系操作后跟相应的选择操作, 并且联系操作的第 2 个操作数是单结点的联系式样, 其后的选择中谓词也只跟这个单结点的联系式样有关. 如果我们确定用

(3)式的结构来进行联系一选择复合操作的话, 剩下的问题是如何确定  $R_1, R_2, \dots, R_m$  的先后运算次序. 因为对一特定模式而言, 存多种运算次序, 它们均能拼装成功所有的复杂对象. 如图 5 所示模式, 存在 8 种次序, 它们是:  $ABCDE, ABCED, ABDCE, ABDEC, ABEDC, AEBCD$  和  $AEBDC$ . 形成运算次序所应遵循的准则是: 父结点一定要先于其子结点出现. 根结点(图 5 中  $A$  为根结点)总是排在首位.

假定我们知道任一类  $R_i$  中对象个数  $N_i$ , 类  $R_i$  中对象满足谓词  $F_i$  的选择率  $S_i$  (这往往可通过对象索引得出), 则我们可得到一较佳运算次序, 由下面的算法 1 给出.

**算法 1.** 确定  $R_1, R_2, \dots, R_m$  的运算次序, 其中  $R_1$  为根结点.

输入: 模式有向图, 并包含  $N_i, S_i (1 \leq i \leq m)$  等统计信息

输出:  $R_1, R_2, \dots, R_m$  的一种排序

步骤: 1.  $T = \{R_1\}$ ;  $R = \{\}$ ;

2. for  $i = 1$  to  $m$  do
3. 从  $T$  中挑选出  $N_i \times S_i$  值最小的结点  $R_i$  输出;
4.  $R = R \cup \{R_i\}$ ;
5. for  $follow(T)$  中的每一个元素  $R_j$
6. if  $R_j \notin R$  then  $T = T \cup \{R_j\}$ ;
7. end of for;
8. end of for;
9. end.

其中  $follow(T)$  为  $T$  中结点有有向边指向的结点集合, 亦即对任一  $R_i \in follow(T)$ , 一定存在  $R_j \in T$ , 使  $R_i \rightarrow R_j$  成立.

算法 1 主要包括 1 个两层嵌套循环, 第 2~8 行为外层循环, 执行  $m$  次, 第 5~7 行为内层循环。由于第 5 行的执行次数与模式有向图中的有向边数相等, 故至多执行  $1/2m(m-1)$  次。采用散列方法可使第 6 行用  $O(1)$  时间完成, 所以整个算法的复杂性不超过  $O(m^2)$ 。

根据以上算法的输出可得一个新的结点序列  $R_1, R'_2, \dots, R'_m$ , 以此分别代替(3)中的  $R_1, R_2, \dots, R_m$ , 并改动相应的选择运算, 可望大大提高(3)式的运算效率。

在(3)式中, 当遇到一新的结点时, 先做联系操作, 再做相应的选择操作。另一种作法是先做选择操作, 再做联系操作, 这可由下面的(4)式描述:

$$\sigma_{m+1}((\sigma_1(R_1)[F_1]) * (\sigma_2(R_2)[F_2]) * \dots * (\sigma_m(R_m)[F_m]))[F_t] \quad (4)$$

我们规定运算自左至右进行(注意联系操作满足结合律),  $R_1, R_2, \dots, R_m$  运算次序的确定同样可由算法 1 给出。

(3)式与(4)式中的选择运算在形式上稍有不同。在(3)式中  $\sigma_i$  是对  $R_1 * R_2 * \dots * R_i$  ( $1 \leq i \leq m$ ) 进行的, 而(4)式中  $\sigma_i$  仅对  $R_i$  进行, 但这 2 种形式之间的转换是很方便的。

在上述讨论中, 我们对谓词本身没有进行什么考虑。实际上, 由于面向对象模型能支持一些复杂的应用, 且可由用户定义操作或方法<sup>[11]</sup>, 不同谓词的复杂程度差异很大, 简单的只涉及一、二个比较操作, 复杂的可包含计算量庞大的用户定义操作, 如在 CAD、地理信息系统等应用中, 所以有必要考虑谓词本身的复杂性。为便于进一步优化, 将谓词分作 2 类: 一般谓词和费时谓词。对于费时谓词, 我们尽量避免或只对尽可能少的对象进行。

如何划分一般谓词与复杂谓词值得考虑。因为费时谓词一般都是由于其中费时的用户定义操作引起的, 故可由划分用户定义操作是否费时来代替前者。此外, 查询语句中一个特定的谓词只在语句中出现一次, 很少重现。而用户定义的操作可反复应用, 测定其费时与否更有意义。我们规定一个谓词若含有费时的用户定义操作, 则为费时谓词, 否则为一般谓词。

下面讨论划分一般与费时用户定义操作的方法。最简单的方法是由用户说明, 但缺点是主观随意性较大, 也可考虑采用静态分析方法, 例如可根据相应目标程序的大小来决定。还有一种办法是根据实际执行情况来确定。例如可先设定所有的用户定义操作均为一般谓词, 在经过一次(或数次)运行后, 若其(平均)执行时间超过某个阈值, 则认为其为费时的用户定义操作。所有的用户定义操作均根据其以前的执行情况动态调整。

还有一点要说明的是, 前面的讨论假定输出结果是一个个完整的复杂对象, 包含其所有的组成成分, 实际上往往并非如此, 这就需要对结果做投影操作。但若用联系操作拼装好整个对象后投影去掉一些分量, 未免不划算, 解决办法是对那些无需输出、且在后面的运算中亦无用的分量, 不用联系操作去生成它们。这只需要在算法 1 的第 6 行, 将条件  $R_j \in R$  改成  $(R_j \in R) \wedge (\text{useful}(R_j) = \text{true})$  即可。

实现函数  $\text{useful}(R_j)$  要用到查询条件有向图和查询结果有向图, 它们均是数据库模式结构图的子图, 分别记载查询条件和结果所形成的有向图。它们可从联系代数表达式方便地求出。下面举一例说明:

例 2: 设数据库模式结构如图 5 所示, 对于下列查询表达式

$$\pi(\sigma(A * B * C * D * E)[A, B, C = 'c' \wedge (A, E = 'f')][(A, D, E)])$$

其查询条件有向图和结果有向图分别如图 6 和图 7 所示。

$\text{useful}(R_j)$  只需简单地访问上述 2 个有向图。若  $R_j$  至少是其中 1 个有向图中的结点, 则

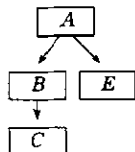
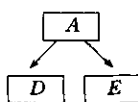


图6 例2的查询条件有向图



$R_j$  有用, 需进行相应的联系操作, 否则无需进行.

综合上述讨论, 我们可得到一较完整的算法, 将联系代数表达式转换成等价的优化形式.

## 2.2 ASIP 复合操作

在文献[1,10]中提供了交操作, 它和关系模型中的连接操作有同样的意义.

假设 ASIP 复合操作具有如下形式(暂不考虑投影操作):

$$(\sigma(R_1)[F_1] \cdot \sigma(R_2)[F_2])[F] \quad (5)$$

其中  $\sigma(R_1)[F_1] = \sigma(R_{11} * R_{12} * \dots * R_{1m})[F_{11} \wedge F_{12} \wedge \dots \wedge F_{1m} \wedge F_{1c}]$ ,  $\sigma(R_2)[F_2] = \sigma(R_{21} * R_{22} * \dots * R_{2n})[F_{21} \wedge F_{22} \wedge \dots \wedge F_{2n} \wedge F_{2c}]$ .  $F$  是交操作的条件.  $F$  中要涉及  $R_1$  和  $R_2$  中的结点, 设  $\cdot [F_1]$  是  $F$  中涉及  $R_1$  的结点集合,  $\cdot [F_2]$  是  $F$  中涉及  $R_2$  的结点集合.

一般来说, 交操作比联系和选择操作更费事, 所以我们按 2.1 节讨论的方法先求  $\sigma(R_1)[F_1]$  和  $\sigma(R_2)[F_2]$ , 然后再求这 2 个联系式样的交.

在求  $\sigma(R_1)[F_1]$  和  $\sigma(R_2)[F_2]$  的过程中, 应注意函数  $useful(R_j)$  要稍作修改, 即需新定义交操作条件有向图, 其所含结点分别为  $\cdot [F_1]$  与  $\cdot [F_2]$ , 作用与另 2 种有向图相同.

2.1 节我们将谓词分成 2 类, 这里再进一步分成 3 类: 一般谓词、费时谓词和极费时谓词. 在进行联系—选择操作时, 我们先做具有一般谓词的选择, 然后做具有费时谓词的选择, 而具有极费时谓词的选择则放到交操作之后进行. 这总是可以做到的, 考虑下面 2 种情形: ① 极费时谓词所在的结点未被以后的联系或交运用, 将涉及该谓词的联系、选择操作放在交操作之后进行没有任何问题. ② 极费时谓词所在的结点要被以后的联系或交运用, 用永真谓词暂时替代极费时谓词, 待做完交操作后再用极费时谓词做相应的选择操作. 还有一些问题与 2.1 节的相似, 不再赘述.

## 3 增强模式下的复合操作

在讨论之前, 先做一点准备.

定义 1.  $R$  是增强模式中一结点,  $R$  的双向联系集合  $birelation(R)$  为所有与  $R$  有双向边相连的结点集合. 亦即对任一  $R_i \in birelation(R)$ , 即有  $R \leftrightarrow R_i$  成立.

定义 2.  $R_1$  和  $R_2$  是增强模式中两结点, 且下列诸条件中必有一条成立:

- a)  $R_1 \rightarrow R_2$ ; b)  $R_2 \rightarrow R_1$ ; c)  $R_1 \leftrightarrow R_2$

定义反转操作如下:

$$\bigtriangledown(R_1 * R_2) = R_2 * R_1; \bigtriangledown(R_2 * R_1) = R_1 * R_2$$

在增强模式下 ASP 复合操作的优化思想是这样的: 根据上一节的(4)式进行计算, 当我们要选择下一个结点时, 设  $R_i$  是其中可供选择的一个. 但此时不象上一节那样, 仅仅考虑  $R_i$ , 而且考虑  $birelation(R_i)$  中的每一个结点. 如发现  $R_j \in birelation(R_i)$  是最佳选择, 则先做  $R'_j = \sigma_j(R_j)[F_j]$ , 其次做  $R_{ij} = \bigtriangledown(R'_j * R_i)$ , 再做  $\sigma(R_{ij})[F_i]$ , 最后和已得到的结果做联系运算, 这样又可进行下一步的结果选择. 象这样选择面进一步放宽, 优化效果更佳.

在此基础上,ASIP 复合操作亦可有效实现,方法与上一节相似.

## 4 小 结

本文从联系、选择和交这 3 种操作的关系入手,对面向对象模型中 2 类重要的复合操作 ASP 和 ASIP 进行了探讨,给出了实现算法. 由于该问题是面向对象模型中查询优化的关键,妥善解决该问题有助于全面解决面向对象数据库中的查询优化问题.

本文的主要创新之处在于:

- a) 指出 ASP 和 ASIP 是面向对象模型中查询优化的关键;
- b) 在实现 ASP 和 ASIP 的方法中本着一般操作尽可能先做、费时操作后做、无用操作要避免的指导思想,采用了选择与联系交替进行、交后做、投影贯穿始终的策略;
- c) 将条件谓词分成 3 类,可改变 b) 中策略的应用,达到更佳的优化效果;
- d) 提出了增强模式的概念,并在增强模式下给出了 ASP 和 ASIP 的实现方法.

本文所提出的方法在绝大多数情况下均能得到较佳的结果,算法复杂性也较低,但在有些情况下不是最佳结果. 实际上,尽管在本文所讨论的范围而言,如不采用穷举搜索策略比较所有可行方案,亦不能保证在所有情况下均能得到最佳方案. 作为对优化查询表达式和查询处理两者的均衡考虑,本文所提出的方法具有较大的实用价值.

## 参考文献

- 1 Stanley Y W Su et al. Association algebra: a mathematical foundation for object-oriented databases. *IEEE Transaction on Knowledge and Data Engineering*, 1993, 5(5):775~798.
- 2 Vandenberg S L, DeWitt D J. Algebraic support for complex objects with arrays, identity, and inheritance. *Proceedings of ACM SIGMOD Conference*, 1991. 158~167.
- 3 Cluet S, Delobel C. A global framework for the optimization of object-oriented queries. *Proceedings of ACM SIGMOD Conference*, 1992. 383~392.
- 4 Steenhagen H J et al. From nested-loop to join queries in OODB. *Proceedings of 20th VLDB Conference*, 1994. 619~629.
- 5 Straube D D, Ozsu M T. Queries and query processing in object-oriented database systems. *ACM Transaction on Information System*. 1990, 8(4):387~430.
- 6 Kemper A, Moerkotte G. Advanced query processing in object bases using access support relations. *Proceedings of 16th VLDB Conference*, 1990. 290~301.
- 7 Sreenath B, Seshadri S. The hcC-tree: an effective index structure for object oriented database. *Proceedings of 20th VLDB Conference*, 1994. 203~213.
- 8 Orenstein J et al. Query processing in the object store database system. *Proceedings of ACM SIGMOD Conference*, 1992. 403~412.
- 9 Blakeley J A et al. Experience building the open OODB query optimization. *Proceedings of ACM SIGMOD Conference*, 1993. 287~296.
- 10 吴胜利,王能斌. 面向对象数据库中基于有向图的联系代数. *计算机学报*, 1997, 20(1):58~67.
- 11 Levy A Y et al. Query optimization by predicate move-around. *Proceedings of 20th VLDB Conference*, 1994. 96~107.
- 12 吴胜利,王能斌. 一种支持对象联系的有效方法. *计算机研究与发展*, 1995, 32(5):8~12.

# QUERY OPTIMIZATION IN OBJECT-ORIENTED DATABASE SYSTEMS

WU Shengli WANG Nengbin

(Department of Computer Science Southeast University Nanjing 210096)

**Abstract** Query optimization traditionally involves two deeply connected levels that are qualified as logical and physical. In the implementation of a concrete system, dividing it in two completely is not a good way. Considering the problem comprehensively is much better, the authors discuss this in the paper based on association algebra, and give query optimization algorithms in object-oriented database system which taking into account both logical and physical aspects.

**Key words** Object-oriented database, association algebra, query optimization.